

Грузинский Филиал
Академии Наук СССР
—
Тбилисский
Геофизический
Институт

სერვ მიუნირიანა აკადემიის
საექივოლუ ფილიალი
ცენტრის
გეოფიზიკური ინსტიტუტი

Filiale Géorgienne
de l'Académie
des Sciences de l'URSS
—
Institut Géophysique
de Tbilisi (Tiflis)



1932

ტფილისის სეისმური სადგურის
გ ი შ ლ ე ტ ე ბ ი
БЮЛЕТЕНЬ
ТБИЛИССКОЙ СЕИСМИЧЕСКОЙ СТАНЦИИ

BULLETIN
DE LA STATION SÉISMIQUE DE TBILISI (Tiflis)

Tbilisi — 1936



Imprimé par ordre de la Filiale Géorgienne de l'Académie
des Sciences de l'URSS.

Le Vice-Président Gogelvili

Le Rédacteur: E. Buss.

გამოცემლისა „ტექნიკა და მრობა“-ს სტამბა

შეკვ. № 927.

მთაცლიტი № 15705

ტექნიკა 400

706160003030

წინამდებარე ტომი შეიცავს ტფილისის სეისმური სადგურის 1932 წლის დაკვირვებებს. როგორც წინა წლების, ისე 1932 წ. სეისმური დაკვირვებანი დამუშავებულია ტფილისის ცენტრალური სეისმური სადგურის გამგის ე. ბიუსის უშუალო მონაწილეობით და ხელმძღვანელობით, რის შესახებ დეტალები მის მიერ ნაჩვენებია შესავალში.

ს. ს. რ. კ. მეცნიერებათა აკადემიის
საქართველოს ფალიალის ტფილისის
გეოფიზიკ. ინსტიტუტის დირექტორი
პროფ. პ. მ. ნიკიფორი.

ПРЕДИСЛОВИЕ

Настоящий том обнимает наблюдения Тбилисской Сейсмической Станции за 1932 г. Как и в предыдущие годы, наблюдения и этого года разработаны при участии и под руководством заведующего Сектором Сейсмической Службы Тбилисского Геофизического Института Е. И. Бюс. Подробности им указаны во введении.

Директор Тбилисского Геофизич.
Института Грузфилиала АН СССР
проф. П. М. Никифоров.

P R È F A C E

Ce volume embrasse les observations de la Station Séismique de Tbilisi (Tiflis) pour l'année 1932. Comme les années précédentes, les observations de l'année 1932 ont été élaborées avec le concours et sous la direction de E. Büss, chef de la Section du Service Séismique de l'Institut Géophysique de Tbilisi.

Le Directeur de l'Institut Géophysique (Tbilisi)
de la Filiale Géorgienne de l'Académie des
Sciences de l'URSS

P. Nikiforoff.

შ ი ს ა ვ ა ლ ი

ტფილისის სეისმურ სადგურს აქვს შემდეგი კოორდინატები: $\phi = 41^{\circ}43'08''$, $\lambda = 44^{\circ}47'42''$ E გრინვიჩიდან; მისი სიმაღლე ზღვის დონიდან 400 მეტრია. ნიადაგქვეშ დილუვიალური კონგლომერატია. აპარატურა დადგმულია ნიადაგის ზედაპირიდან $2\frac{1}{2}$, მეტრის სილრმეში. ტემპერატურა სარდათებში, საჭაც დადგმულია სეისმოგრაფები, 1932 წლის განშავლობაში ირყეოდა $13^{\circ}-19^{\circ}$ C ფარგლებში.

მუშაობდენ შემდეგი იარაღები: 1) სრული სერია გოლიცინის აპერიოდული სეისმოგრაფებისა მაგნეტური დაცხრობით და გალვანომეტრული რეგისტრაციით; 2) გოლიცინის მძიმე საქანები მაგრეტური დაცხრობით და მექანიკური რეგისტრაციით.

იარაღების მუდმივებს აქვს შემდეგი მნიშვნელობანი:

აპერიოდული სეისმოგ.

გოლიცინის მძიმე საქანები

	N—S	E—W	Z	
T (sec)	11.8	12.6	12.3	T=19—20 sec.
T ¹ (sec)	12.2	12.3	12.3	v=3.5
μ^2	—	0.01	+ 0.04	V _o =50—60
log C	3.6382	3.6480	3.7316	

დროის ნიშნები სეისმოგრაფებშე ალინიშნებოდა Strasser—Rohde-ს ფირმის საკონტაქტო საათის საშუალებით. საათის შესწორება ხდებოდა Nauen-დან მიღებული რადიოსიგნალების შემწეობით.

„ბიულეტენის“ შედგენას საფუძველად დაედო, ზოგიერთი უმნიშვნელო გამონაკლისის გარდა, გოლიცინის აპერიოდული სეისმოგრაფების ჩანაწერები. ეპიცენტრალური მანძილები Δ ალებულია S—P სხვაობის მიხედვით Wiechert—Zöppritz—Zeissig (Sieberg, Erdbebenkunde, გვერდი 543) ცხრილებიდან — იმ შემთხვევებში, როცა ასეთი ფაზები არსებობენ, სხვა შემთხვევებში კი მიახლოვებით გუტენბერგის „Laufzeitkurven“-ის მიხედვით; ადგილობრივი მიწისძვრებისათვის კი L—P სხვაობის მიხედვით Conrad-ის ცხრილებიდან (იქვე, გვ. 542).

„ბიულეტენ“-ში ნაჩვენებია ამიერკავკასიის მხოლოდ ზოგიერთი ადგილები, სადაც ნაგრძნობი იყო ცნობილი მიწისძვრა. ამ მიწისძვრების მაკროსეისმური მასალა გამოქვეყნებული იქნება ტფილისის გეოფიზიკური ინსტიტუტის შემდეგ გამოცემაში.

სეისმ. სამსახ. სექტორის ხელმძღვანელი
და სეისმ. სადგურის გამგე ევგ. ბიუსი.

ტფილისი, ივნისი 1936.

В В Е Д Е Н И Е

Тбилисская Сеймическая Станция имеет следующие координаты: $\varphi = 41^{\circ}43'08''$, $\lambda = 44^{\circ}47'42''$ Е от Гринвича, высота над ур. моря 400 м. Подпочва—диллювиальный конгломерат. Аппаратура установлена на глубине $2\frac{1}{2}$ м. под уровнем почвы. Температура подвальных помещений с сейсмографами колебалась в 1932 году в пределах 13° — 19° С.

Работали следующие приборы: апериодические сейсмографы Голицына с гальванометрической регистрацией и тяжелые горизонтальные сейсмографы Голицына с магнитным затуханием и механической регистрацией.

Инструментальные постоянные:

Апериод. сейсмогр. Гол.

	N—S	E—W	Z
T (sec)	11.8	12.6	12.3
T ¹ (sec)	12.2	12.3	12.3
μ^2	— 0.01	+ 0.04	0.00
log C	3.6382	3.6480	3.7316

Тяжелые маятники Гол.

T=19—20 sec.

v=3.5

V_o=50—60

Время обслуживалось часами Strasser—Rohde. Проверялись часы по радиосигналам из Nauen.

В основу „Бюллетеня“ легли, за редкими исключениями, записи апериодических сейсмографов Голицына. Эпицентральные расстояния Δ взяты по разности S—P (при наличии этих фаз) из таблиц Wiechert—Zöppritz—Zeissig (Sieberg. Erdbebenkunde, стр. 543), в других случаях приближенно по „Laufzeitkurven“ Гутенберга, для местных же землетрясений по разности L—P из таблиц Conrad (там же, стр. 542).

При указании эпицентров были использованы данные бюллетеней некоторых сейсмических станций.

В „Бюллетене“ указаны лишь некоторые местности ЗСФСР, где ощущалось известное землетрясение. Макросейсмический материал этих землетрясений будет опубликован в другом издании Тбилисского Геофизического Института *).

Руководитель Сектора Сейм. Службы
и Завед. Сейсмич. Станцией Е. И. Бюс.

Тбилиси. июнь 1936 г.

*) См. Введение к „Бюллетеню“ за 1928 г.

INTRODUCTION

La Station Séismique de Tbilisi a les coordonnées suivantes: $\varphi = +41^{\circ}43'08''$, $\lambda = 44^{\circ}47'42''$ E de Greenwich, élévation au-dessus du niveau de la mer 400 m. Soussol—conglomérat diluvial. Les appareils sont installés à la profondeur de $2\frac{1}{2}$ m au-dessous du niveau du sol. La température du souterrain où sont placés les sismographes varie, durant l'année 1932, de 13° à 19° C.

Ont fonctionné les appareils suivants: sismographes apériodiques, système B. Galitzine, et sismographes lourds (système Galitzine).

Les constantes instrumentales avaient la valeur:

Sismogr. apériod.

Pendules lourdes

	N—S	E—W	Z	
T (sec)	11.8	12.6	12.3	T=19—20 sec.
T ¹ (sec)	12.2	12.3	12.3	v=3.5
μ^2	— 0.01	+ 0.04	0.00	$V_0=50—60$
log C	3.6382	3.6480	3.7316	

Pour mesurer le temps on se sert d'une pendule Strasser—Rohde qu'on vérifie d'après les radiosignaux de Nauen.

Les diagrammes des sismographes apériodiques (Galitzine) forment le fond du „Bulletin“, à quelques exceptions près. Les distances épcentrales sont prises des tableaux Wiechert—Zöppritz—Zeissig (Sieberg. Erdbebenkunde p. 543), suivant la différence S—P en présence de ces phases, dans d'autres cas, approximativement, suivant „Laufzeitkurven“ de Gutenberg, et pour les tremblements de terre locaux de tableau Conrad (ibid., p. 543) suivant la différence L—P.

Les epicentres sont indiquées suivant les données des Bulletins des stations séismiques diverses.

Dans le „Bulletin“ ne sont indiquées que quelques-unes des localités de Transcaucasie où un tremblement de terre se fit percevoir. Les matériaux macroseismiques de ces tremblements de terre, seront publiés dans une autre édition de l'Institut Géophysique de Tbilisi.

Chef de la Section de l'Office Séismique
et de la Station Séismique Tbilisi (Tiflis)

E. Buss.

Tbilisi, Juin 1936.

EXPLICATION DES SIGNES.

P — première phase préliminaire.

P' — ondes longitudinales qui ont atteint la station après avoir passé par le noyau central.

PP, PPP...P — ondes réfléchies de la surface terrestre (foyer normal).

pP, pPP...P " " " " " (foyer profond).

S — seconde phase préliminaire.

SS, SSS...S — ondes réfléchies de la surface terrestre (foyer normal).

sS, sSS...S " " " " " (foyer profond).

PS, PPS... ondes réfléchies avec changement de caractère (foyer normal).

pS, sS... " " " " " (foyer profond).

PKS, SKS... ondes deux fois réfractées pas le noyau central.

sP'... ondes réfléchies du noyau central avec changement de caractère (foyer profond).

L — longues ondes.

M — maxima,

i — début marqué { d'une phase du caractère distinctif ou incertain (symbole

e — " peu " } indépendant dans le dernier cas).

T_p — période d'une oscillation complète en secondes.

t — moment du maximum, moyen pour toutes les composantes.

A_n, A_e, A_s — amplitude de la composant N—S, E—W, Z du mouvement vrai du sol, exprimée en microns (μ).

Δ — distance épcentrale. Les tables de Wiechert—Zöppritz—Zeissig (Sieberg. Erdbebenkunde p. 543) ont été employées à calculer les distances épcentrales, celles de Conrad pour les tremblements de terre locaux, lorsque la différence S—P a été inconnue ont été utilisées „Laufzeitkurven“ de Gutenberg.

Temps — moyen de Greenwich, compté de minuit à minuit.

* — temps inexact.



Nº	Date	Phase	Heure			Période	Amplitude μ			Δ km°	Remarques
			h	m	s		A _n	A _s	A _r		
1	1	e(P)	21	06	49					(2690)	Séisme faible
		e(S)		11	09					42.2°	
		L		16.6							
2	2	eL	22	36							
3	P	23	41	30						2470	
	e		42	33						22.2°	
	S		45	33							Ressenti à Cro-
	L		48.9								tone (Calabre)
	M		51.2			11.0		0.4			(Mer Jonienne)
4	3	eP	07	59	36						
	e		08	05	51						
	e		09	20							
	L		17.7								
	M		23.4			14.0		1			
5	eL		13	57.3							
6	4	e(P)	04	52	29					(366)	
	eL			53	16					3.3°	
7	P	12	00	03*						(4510)	
	e(S)		06	21*						40.6°	Troublé par mou-
											vements micro-
8	5	eP	00	48	12					8830	séismiques
	eS		58	14						79.5°	
	eL		01	16							Phase très faible
9	P'	02	14	44						Ca	
	e		16	29						17000	
	SKKS		25	05						153°	
	PPS		31	48							
	SSS		44	05							
	eL	03	05								
	M		20.1			23.0		4			



Nº	Date	Phase	Heure			Période	Amplitude μ			Δ km	Remarque
			h	m	s		A_n	A_e	A_s		
10		eP	09	18	03					86	
		eL			13					0.8°	
		F		19.1							
11	6	e	14	42	31						
		e		43	28						
		L	15	27							
12		e	17	15	52						
		eL		25							
		M		39.0		19.0		17			
13	7	L	16	56.9							
14	8	P	05	54	21					2600	
		eS		58	34					23.4°	
		L	06	02.9							
15		eL	15	14							Traces
16	9	P	10	35	28					Ca.	
		P'		39	38					11200	
		PP		40	01					100.8	
		PPP		42	08						
		e		45	31						
		SKS		46	23						
		PS		48	14						
		PPS			57						
		PKKP		51	28						
		e(SS)		54	28						
		e		57	16						
		eL		58.6							
17	10	eP	01	08	38					(2070)	
		(eS)		12	07					18.6°	
		eL		16.6							
		M		19.5		05.5		1			



Nº	Date	Phase	Heure			Période	Amplitude μ			Δ km °	Remarques
			h	m	s		A_n	A_e	A_s		
18		P iL	01	27	47					94	
					58					0.9°	
19	11	eL	09	30.7							Traces
20	13	s L M	16	40	17						Phase P incertaine (très fortes mouvements microsismiques)
				55.6							
			17	03.2		24.0			39		
21	14	eL	18	18							
22		eL	20	39							
23		e	23	10	04						Très faible tr. d. t. local
24	16	eP iL F	02	28	05					102	
					17					0.9°	
25	22	eP S eL	00	51	41					1310	Enregistrement
				54	00					11.8°	mécanique
					31						
26	29	e(P) (PP) SKS	13	56	06					Ca.	Troublé par forts
			14	00	19					12000	mouvements mi-
				06	26					108°	crosismiques
27	30	e(SKS) e(PPS) eL	03	29	55					Ca.	Troublé par forts
			33	36						(11500)	mouvements mi-
			04	00						103.5°	crosismiques
28		eL	08	09							Troublé par forts
29	31	e L M	12	15	08						mouvements mi-
				19.6							crosismiques
				21.2		15.0			8		



Nº	Date	Phase	Heure			Période	Amplitude μ			Δ km	Remarques
			h	m	s		A_n	A_e	A_s		
30		L	15	36							
		M		36.8		14.0			1		
31		e	16	25.8							
		eL		57							
32		eL	20	21							
		M		26.0		18.0			1		
33	1	(eP)	07	44	28						
		(eS)		49	38					3385	
		e	52	34						30.5°	
		L		53.2							
		M		55.9		15.0			7		
34	2	L	12	55							
		M	13	03.0		12.0			1		
35		e	13	47							
36		L	15	00							
		M		01.4		14.0			1		
37		L	19	52							
		M		53.8		16.0			2		
38	3	e	04	56	05						
		L	05	10							
39		eP	06	29	42						
		e		33	14					Ca.	
		e	40	01						11100	
		eSKS			18					100°	
		PS	42	28							
		SS	48	03							
40		eL	12	57							
		M	13	06.7		20.5			2		



Nº	Date	Phase	Heure			Période	Amplitude μ			Δ km	Remarques
			h	m	s		A_n	A_e	A_s		
41		L	15	01							
42		L	17	22							
		M		23.7		16.0		1			
43		L	19	55.5							
		M		57.2		16.0		1			
44	4	eL	08	09							Traces
45		eP	21	23	01						
		S	26	50						2305	
		e	27	01						20.7°	Jran
		L		29.6							
46	5	eP	06	44	39						
		eS		48	21						
		L		50.5						2220	
		M		51.1		08.7		1		20.0°	Les phases peu prononcées Asie Centrale (Andijean)
47		(eP)	13	52	39						
		e	14	02	57						
		e	05	25							Phases indiscernables
		L	09								
		M	14.7			16.0		1			
48		L	17	09							
		M		10.2		17.0		2			
49		eL	18	04							
50		e	23	09	46						
		e	15	09							
		eL	20.5								
		M	21.6			16.0		2			
41		L	05	52							
		M		54.5		15.0		3			

Nº	Date	Phase	Heure			Période	Amplitude μ			Δ km	Remarques
			h	m	s		A_n	A_e	A_s		
52		L	07	05							
53	8	eL	20	25							Ondes très faibles
54	9	eP i e eS	02	24	14					2330 21.0°	Afghanistan, Pha- se principale fai- ble et peu pro- noncée
55	11	(L)	12	58							Phases prélimi- naires et début de L pendant la pau- se dans l'enregis- trement
56	12	P PP PPP e S e(SS) eL L M	01	04	46					3545 31.9°	Golfe d'Aden (île Socotra)
				05	42						
					58						
				06	21						
				10	06						
				11	49						
						10.8			2		
57	13	eL	05	25							Traces
58		eL	08	39							"
59		eL	13	21							"
60		e eL M	19	34	52						Incertain trou- blé par l'agitation
			20	00							
					07.9		19.0		1		
61	14	e e eL	20	35	37						Séisme faible
				39	13						
				44							



Nº	Date	Phase	Heure			Période	Amplitude μ			Δ km $^{\circ}$	Remarques
			h	m	s		A_n	A_e	A_s		
62		e(P)	23	24	31	21.8				(6760) 60.8°	Phase douteuse
		S		32	48						
		e(SKKS)		34	28						
		e(SS)		36	43						
		SSS		39	25						
		eL		42							
		M		44.9			10				
63	16	P	14	08	40	21.4				Ca. 14800 133.2°	Iles Fidji
		ePP		10	45						
		e(PKs)		11	46						
		PPS		23	04						
		eSS		28	03						
		PSS			43						
		eSSS		33	41						
		L		53							
		M		15	09.8		6				
64	17	eL	01	05	*						Pas des repères de temps
65		eL	16	52							
66		(e)	23	06	57	20.0				Phases douteu- ses	
		(e)		16	10						
		L		38							
		M		42.6			3				
67	20	eL	09	46							
68		e	16	04	28						
		eL		08							
69		L	19	17.8		12.1				Quelques faibles ondes recouver- tes par des mi- croseismes	
		M		18.5			1				



Nº	Date	Phase	Heure			Période	Amplitude μ			Δ km $^{\circ}$	Remarques
			h	m	s		A_n	A_e	A_s		
70		L	19	28							
		M		28.9		10.0		1			
71	21	L	01	24							
		M		25.7		10.0		1			
72		eL	12	48							
73		(eP)	13	29	01					(4135)	
		e		30	35					37.2°	
		eS		34	56						
		e(SS)		37	04						
		L		43							
		M		46.2		13.0		1			
74	22	e	00	56.2							
		eL	01	13							Mouvement fai-
75		eL	02	55							ble
76		eP	04	41	06					424	
		e		41	30					3.8°	
		L		42	01						
		M		42.7		10.0		2			
77		(eP)	20	35	38					(2510)	
		e(S)		39	44					22.6°	
		L		44.6							Phase faible
78	23	PP	00	32	48					Ca.	
		ePPP		35	29					12400	
		eSKS		38	51					111.6°	
		PS		42	10						
		PPS		43	16						
		SS		48	13						
		SSS		52	40						
		L	01	00							
		M		09.8		20.0		26			



Nº	Date	Phase	Heure			Période	Amplitude μ			Δ km °	Remarques
			h	m	s		A_n	A_s	A_g		
79		L	21	10							Troublé par mouvements micro-séismiques
		M		13.6		20.0		1			Séisme faible
80	26	(e)	07	44	50						
		(e)		51	22						
		eL	08	04							
81		e	11	41	15						
		e		51	20						
		e	11	54	55						
		eL	12	00							
82	27	eL	01	36							
83		eL	11	28							Troublé par mouvements micro-séismiques
		M		36.3		15.0		1			Mouvement faible
84	29	L	00	48							
85	1	e(P)	00	47	07					(263)	
		e(L)			40					(2.4°)	
		e			49						
86		eL	22	25							Ondes faibles
87		eP	22	31	49					(487)	
		e		32	12					(4.4°)	
		e			22						
		e(L)			53						
		F	37								
88	2	P	09	01	17					438	
		e		02	09					3.9°	
		eL			14						
		e			26						
		e			49						
		M	04.9			04.9		1			
		F	14								



N°	Date	Phase	Heure			Période	Amplitude μ			Δ km	Remarques
			h	m	s		A_n	A_s	A_f		
89		L	14	12.3							
90		e(P)	22	44	24					(248)	
		e			46					(2.2°)	
		iL			56						
		F		51.5							
91	4	e ₁	15	50	19					(148)	
		e ₂			37					(1.3°)	
		F		51.6							
92		P	23	26	59					3265	
		S		32	00					29.4°	
		SS		33	44						
		L		38.2							
		M		42.3			11.0		2		
93	5	e	02	19	02						
		e		23	12						
		eL		29							
94		L	03	04							Ondes faibles d'un tr. d. t. lointain
95	6	(eP)	00	26	10						Phases douteuses. Mouvements microsismiques fortes
		e		32	06						
		eL		43.4							
96		e	05	28	21						Mouvement incertain parmi microsismes
97		e	11	28	30						
		F		29.1							Traces d'un tr. d. t. proche



N°	Date	Phase	Heure			Période	Amplitude μ			Δ km °	Remarques
			h	m	s		A_n	A_e	A_s		
98		P	15	09	50	08.5	2	1	620 5.6°	Turquie	
		e		10	20						
		S		58							
		e		11	08						
		L		24							
99		M	12.6			16.0	1	1	620 5.6°	Turquie	
		F	20								
		e	22	02	59						
		e		05	54						
100	7	L	09.5			12	1	1	620 5.6°	Traces	
		M	16.8								
		eL	01	48	54						
		(e)	03	25	44						
		(e)	36		25						
101	8	e	39		23	12	1	1	620 5.6°	Traces	
		e	52		24						
		eL	04	12.9							
		iL	03	32							
		F		32.7							
102		P	04	41	42	21.6	15	15	8830 79.5°	Tr. d. t. proche très faible. Superposé au séismogramme précédent Région des îles Aléoutiennes	
		S	51		44						
		SS	56		48						
		e	05	02.3							
		eL		10							
103		M	18.5			12	1	1	620 5.6°	Tr. d. t. proche très faible. Superposé au séismogramme précédent Région des îles Aléoutiennes	
		eL	09	04							
		e	11	09	31						
		(e)		11	10						
104						12	1	1	620 5.6°	Traces	
105						12	1	1	620 5.6°	Tr. d. t. proche, très faible	

Tbilisi

Mars 1932

International
Seismological
Centre

Nº	Date	Phase	Heure			Période	Amplitude μ			Δ km	Remarques
			h	m	s		A_n	A_s	A_z		
106		e	18	24	00	24.0	3	3	3	2305	Tr. d. t. proche, très faible
		e		32	09						
		e		41	17						
		L	19	03							
		M		06.3							
107		e	20	52	24	10.0	5	5	2305	Tr. d. t. local très faible	
		F		53.9							
108	9	e	01	20	51	28.0	9	9	2305	Faible mouve- ment incertain	
109		L	03	38							
110		eP	10	21	17						
		P			20						
		S	25	06							
		i		14							
		SSS	26	13							
		e		47							
		L	27.6								
		M	29.6								
111		e	10	36	31	10.0	5	5	2305	Tr. d. t. local très faible	
		F		37.5							
112		(eP)	11	42	18	11.0	(117)	1.1°	2305	Tr. d. t. local très faible	
		L			32						
		F	45								
113		e(P)	13	10	57						
		eL	11	09		11.0	(102)	0.9°	2305	Tr. d. t. local très faible	
		F	42								
114	10	(L)	06	44							
		M		44.6		28.0	9	9	2305	Debut de L et des phases prélimi- naires perdu en fortes MS	



Nº	Date	Phase	Heure			Période	Amplitude μ			Δ km	Remarques
			h	m	s		A_n	A_e	A_s		
115		P	13	40	04					270	
		L			38					2.4°	
		F		46							
116	13	L	04	13	38						Ondes faibles
117		(eP)	14	09	58					(94)	Tr. d. t. local très
		i		10	09					0.9	faible
		F		11.5							
118	14	e	04	35	02						
		e		41.0							
		L	05	00							
		M		13.9		17.0		3			
119		eP	22	57	03					11800	Amérique Cen-
		ePP	23	01	13					106.2°	trale
		SKS		07	45						
		PS		10	23						
		PPS		11	12						
		e		27	06						
		eL		33							
		M		58	6	17.5		3			
120	15	(eP)	04	45	19					9450	Très faible
		e		49	00					85.0°	
		iS		55	52						
		L	05	18							
		M		29.7		18.0		5			
121		eP	07	45	01					352	Turquie (Armé-
		i			07					3.2°	nie)
		i			41						
		iL			46						



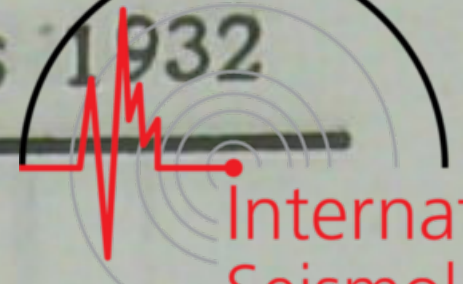
Nº	Date	Phase	Heure			Période	Amplitude μ			Δ km	Remarques
			h	m	s		A_n	A_e	A_s		
122		P	10	20	05	11·0	15			1170 10.5°	Jran (Kuhistan?)
		e			31						
		iS	22		10						
		iL			33						
123		M	23.1								
		(e)	11	01	30						
124		eL	02	02.1							Séisme faible
		(e)	11	09	35						
125	16	e	02	49	03						Mouvement faible
		L		56							
126		eL	05	48							Traces
127		P	08	12	26					156 1.4°	Très faible
		L			44						
128	17	eL	01	28							L-ondes parmi MS
129	18	(eP)	05	26	56					(6900) 62.1°	Océan Jndien
		ePPP	30	29							
		e	35	13							
		S		20							
		SSS	42	00							
		L	44								
		M	47.4								
130	19	eP	11	12	33					9800 88.2°	Océan Pacifique (Marianes)
		P _c P			41						
		SKS	22		53						
		PS	24		21						
		eL	42								
		M	55.7								

Nº	Date	Phase	Heure			Période	Amplitude μ			Δ km	Remarques
			h	m	s		A_n	A_e	A_s		
131	20	e(PP)	23	28	23	20.0	4	179	1.6°	Ca. 11000 199°	Tr. d. t. faible
		e(SKS)		34	49						
		eSS		43	05						
132		L	00	02		16.5	1	(374)	3.4°	Traces	Phase faible
		M		15.8							
		F									
133		e	18	48	46	20.0	4	179	1.6°	Traces	Mouvement incertain. Enregistrement ultérieur suspendu
		L	19	20							
		M		22.3							
134		e	23	41	15	16.5	1	(374)	3.4°	Traces	Tt. d. t. proche
		eL		42							
		F		44	03						
135	21	L	03	35.5							
136		e	06	53	27						
137		eL	13	24							
138		iL	14	04	00						
		F		05							
139		(e)	16	31	04						
		e(L)			26						
		L			32						
		F		37							
140		eP	19	54	27						
		i			31						
		e			42						
		i		55	05						
		iL			11						

Nº	Date	Phase	Haure			Période	Amplitude μ			Δ km	Remarques
			h	m	s		A_u	A_e	A_s		
141		(e) e(L)	21	23	17 35						
142		e i iL	22	25	02 34 41					(308) (2.8°)	
143		e e (e)	22	30	44 31 29						Replique
144		e F	22	45	28 49.5						"
145	22	e(L) F	00	44	37 48						"
146		e F	02	05	01 08						"
147		e	03	41	36						"
148		e eL e	12	56	1 48 55						"
149		(e) e eL M	13	15	00 22 46 54.8		18.0		1		
150	23	L M	03	12.5 13.7		11.0		1			
151		L	09	04.3							Traces

Tbilisi

Mars 1932



International Seismological Centre

Nº	Date	Phase	Heure			Période	Amplitude μ			Δ km	Remarques
			h	m	s		A_n	A_s	A_g		
152		eP'	12	28	05					Ca. 16900 152°	Océan Pacifique
		e		32	36						
		SKKS		38	42						
		e		42	54						
		L	13	27							
153	24	L	00	48							
154		eL	02	35							Traces
155		L	03	20							"
156		(e)	03	36	06						
		L		54							
		M	04	06.6		18.0		2			
157		P	16	16	23					4590	Assam
		S		22	43					41.3°	
		eSS		25	05						
		eSSS		26	16						Faible
		eL		31							
158	25	eL	22	15							
		M		26.2		20.0		2			
159	26	eP	00	06	45						
160		eP	00	10	19					8430	
		ePP		13	39					75.9°	
		iS		20	01						
		SKS			36						
		SKKS			54						
		e		23	00						
		eL		30							
		M		52.6		24.5		68			



Nº	Date	Phase	Heure			Période	Amplitude μ			Δ km	Remarques
			h	m	s		A_n	A_e	A_s		
161		P	10	05	13	18.0	10			9330 84.0°	Region de Nouvelle Zélande
		PP		08	50						
		iS		15	40						
		eL		32							
		M		53.1							
162	27	eL	22	11		13*					Parmi MS
163	28	e	15	08	13*						
		F		11		11.1					Traces
164	29	P	17	08	13						
		iL			26						
		F		11.1							
165		eP	18	57	56	08.0	8			315 2.8°	Turquie (Arménie)
		i		58	31						
		L			36						
		M		58.8							
166	30	e	15	20	37	19.0	1				
		e		29	49						
		L	16	01							
		M		12.1							
167		L	19	49							
168		e	22	38	31						Tr. d. t. local très faible
		F		40.5							
169		e	22	43	52						
		L		44	17						
		F		47.8							
170	31	e	14	37.7							
		F		45							Traces
171		eL	19	31							
172		e	22	19							Ondes faibles
											Mouvement faible

Nº	Date	Phase	Heure			Période	Amplitude μ			Δ km	Remarques
			h	m	s		A_n	A_e	A_s		
173	1	eL	09	41							Traces
174		eL	13	45							
175	2	eL	01	58.3							
176	3	eP'	20	58	22						
		ePKS	21	02	09						
		eSKKS		07	29						
		eL		48							
		M		58.4			28.0				
177	4	eP	19	27	24						
		eS		36	20						
178	5	eL	22	24	*						
		M		36.6	*		18.0				
179		eP	22	25	18*						
		L			33*						
		F		26.0	*						
180	(eP)		22	54	16*						
		L			32*						
		F		55.2	*						
181	6	P	00	14	29*						
		i			32*						
		i			41*						
		iL			49*						
		e			53*						
182		e(L)	00	26	48*						
183		(e)	00	31	07*						
		(e)			24*						
		F		32.6	*						
184		eL	10	28.0	*						Ondes faibles

Tbilisi

Avril 1932


 International
Seismological
Centre

Nº	Date	Phase	Heure			Période	Amplitude μ			Δ km	Remarques
			h	m	s		A_n	A_e	A_s		
185		eL	02	39.5							
186		eP L	09	20	54						Troublé par mouvements micro-séismiques très fortes
187		eL	18	25							Traces
188	8	e e e L M	12	12	02						
			15	16							
			25	05							
			13	08							
					19.5	20.0					
189		iL F	19	01	27						Tr. d. t. local très faible
190	9	eL	06	26							
191	10	e	03	46.5							Mouvement incertain
192		M	07	20.3		10.0					Début pendant le changement du papier.
193		e e(L)	20	07	07						Tr. d. t. très faible
					26						
194	12	iP i i i(L) i	07	00	58					125	Confins de Turquie et Géorgie (Akhalkalaki)
				01	01					1.1°	
					10						
					13						
					28						
195	13	(PP) PPP SKS e(PPS) aL M	00	11	05					Ca. 11500 103.5°	
				13	31						
				17	22						
				20	53						
				44							
			01	05.9		19.0				3	

Tbilisi

Avril 1932


 International
Seismological
Centre

Nº	Date	Phase	Heure			Période	Amplitude μ			Δ km	Remarques
			h	m	s		A_n	A_s	A_g		
196	14	e	19	52	45*						Traces d'un tr. d. t. local
		F		54							
197	15	e	08	06	35						
		eL		24							
		M		30.8		12.0		1			
198		eL	09	19	03						Traces d'un tr. d. t. local
		F		19.8							Ondes faibles
199		eL	12	08	15						
200		eL	18	23		19.0		1			
		M		28.1							
201	16	eL	04	01							Traces
202		L	11	41							"
203		eL	22	26							
204	17	eP	03	19	30					125	Tr. d. t. très fai-
		eL		45						1.1°	ble
		F		21							
205	18	e(L)	12	01							Monvement in-
		P	05	02	55					9744	certain
		ePcP		03	10					87.7°	Océan Pacifique.
		e(PPP)		08	37						Phase principale
		e(SKS)		13	22						très faible
		S			41						
		ePPS		14	43						
		eL		40							
207		P	11	28	29					2560	
		eS		32	39					23.0°	Iran
		L		36.1							
		M		45.2		15.0		5			

Nº	Date	Phase	Heure			Période	Amplitude μ			Δ km °	Remarques
			h	m	s		A_n	A_e	A_s		
208	20	(eP) e(L) F	00	30	12					109 1.0°	Très faible
209		(eP) eS (eSSS) eL		31.7						2730 24.6°	Asie Centrale
210		e	20	15	53						Superposé au séisme précédente
211		L M	20	25.7			14.0		1		
212		e L M	22	57	16						
213	21	eP iL i F	01	17	51					102 0.9°	(Akhalkalaki)
214	22	P P_c P S PS L M	05	09	17					7760 69.8°	Iles de la Sonde
215		eP L F	10	08	19					109 1.0°	
216	25	(eP) e(S) e e	07	34	58					(444) 4.0°	
217		L	18	50							Ondes faibles



Nº	Date	Phase	Heure			Période	Amplitude μ			Δ km	°	Remarques
			h	m	s		A_n	A_e	A_s			
218	26	M	09	10.9		20.0		2				Début pendant le changement de papier
219		e	13	52	14							Phases indiscernables
		e	59	59								
		L	10									
220	27	P	01	52	07							
		S	55	44								
		L	58.3									
		M	02	01.2		12.0		1				
221		eL	03	53.7								Traces
222		eL	04	15								
223		e(P)	23	45	51							
		e(S)	47	48								
		L	48.6									
224	29	e	02	10	41							Mouvement incertain
225		eP	04	43	24							
		e(L)	44	38								
226		iP	17	42	39							Océan Pacifique
		S	52	25								(Philippines)
		e(SS)	57	59								
		L	18	09								
227		P	18	30	36							Jles Aléoutiennes
		S	40	37								
		e	46	22								
		L	58.7									
		M	19	07.3		19.9		16				



Nº	Date	Phase	Heure			Période	Amplitude μ			Δ km °	Remarques
			h	m	s		A_n	A_e	A_s		
228		P	19	28	46					125 1.1°	Tr. d. t. faible
		iL		29	01						
		e			16						
		F		33							
229	30	(eP)	01	05	18					(78) 0.7°	" "
		iL			26						
		F		08.2							
230		P	01	17	31		20.0	2	7800 70.2°	Océan Atlantique	
		S		26	41						
		L		42							
		M		48.4							
231		eP	02	33	37				(388) 3.5°	Tr. d. t. faible	
		e(L)		34	27						
		e			38						
232		(e)	06	13	58					Séisme proche, phases indiscern- nables	
		e		14	41						
		F		17.7							
233		P	10	57	05			2	2245 20.2°		
		e		58	07						
		S	11	00	49						
		eL		02.8							
234		e(L)	14	15	41					Mouvement in- certain	



Nº	Date	Phase	Heure			Période	Amplitude μ			Δ km $^{\circ}$	Remarques
			h	m	s		A_n	A_e	A_z		
235	1	(e)	04	36	22*						
		e		37	45*						
		e		38	27						
		L	05	44							
236	L		17	43			15.0	1			
		M		44.8							
237	L		19	59.8							
238	2	eL	22	26.7			15.0	1			
		M		31.1							
239	3	P	23	40	09					7540 69.9°	Océan Pacifique (Kiou-Siou)
		ePPP		44	24						
		S		49	06						
		ePS			37						
240	L	e	00	01	07		16.0	3	2		Traces
		L		08							
		M		14.1							
			14	00							
241	4	P'	00	58	04		22.0	4	Ca. 16500 148.5°		
		SKKS	01	07	59						
		eL		35							
		M		42.3							
242	P		05	16	56		8730 78.6°				
		S		26	53						
		(eL)		36							
243	eL		05	52							
244	eP		11	27	28						
		e		28	03						
		L		31							



Nº	Date	Phase	Heure			Période	Amplitude μ			Δ km	Remarques
			h	m	s		A_n	A_e	A_s		
245	5	(eP)	04	21	35	18.0	1			(6780) 61.0°	
		e(S)		29	53						
		e		38.1							
		eL		47							
		M		51.4							
246		P'	08	43	43	20.0	1			Ca. 16500 148.5°	Océan Pacifique (Nouv. Zélande)
		PPP		47	00						
		eL	09	38							
		M		47.5							
247	6	e	00	36.7		18.0	2				
		L		46							
248		e	04	45	20	18.0	2			Mouvement faible	
		e		53	43						
		L	05	09	40						
		M		17.2							
249		P	05	47	24	18.0	2			9030 81.3°	Océan Pacifique
		eS		57	36						
250	7	e	02	03	11	18.0	2			Tr.d.t. loca lfaible	
		e(L)		04.5							
251		P	14	55	37	6.0	9			700 6.3°	
		e		56	45						
		e	57	04							
		iL		59.3	24						
		M									
252	8	eL	08	42		6.0	9			Traces	



Nº	Date	Phase	Heure			Période	Amplitude μ			Δ km	Remarques
			h	m	s		A_n	A_e	A_s		
253	9	e F	00	26	00						Mouvement incertain
254	10	L F	01	35.7							Mouvement faible
255		(eP) e(S) e(SKS) e eL	14	36	07					8730	
			46	46	04					78.6°	
			29								
256	11	P ePPP S L M	07	05	04					8220	Océan Pacifique
			09	33						74.0°	
			14	35							
			33.5								
			41.0			15.0		3			
257		eP iL F	06	11	58					86	Tr. d. t. faible
			12	08						0.8°	
			13.5								
258		iP S SKS eL M	06	20	16					9050	Ressenti en Célebes
			30	29						81.5°	
			50								
			50.6								
			58.1			20.0		9			
259	13	eP iL F	00	07	44					78	Tr. d. t. faible
				53						0.7°	
			09.4								
260		eL	03	01							Traces
261		e	03	18	41						Très faible tr. d. t. local

N°	Date	Phase	Heure			Péiode	Amplitude μ			Δ km °	Remarques
			h	m	s		A_u	A_e	A_s		
262		P	03	48	18		8.0	0.4	3	1490 13.4	Ressenti à Rho- des
		PPP			28						
		S	50		54						
		SS	51		20						
		L	53.0								
		M	54.3								
263		e	08	49	08					8970 80.7°	Mouvement in- certain
		e	53		06						
		e	09	00	20						
264		e	13	15	55						Mouvement in- certain. La fin est recouverte par le tr. d. t. suivant
		e	17		29						
265		iP	13	23	29					8970 80.7°	Destructeur dans île Célebes. Phases S, L de l'enregistrement mécanique
		iS	33		38						
		eL	52								
266		e	15	40	00						Superposé en séisme préce- dente
		e	50		50						
267	15	e	10	11	54						Tr. d. t. local, très faible
		F		12.6							
268	16	L	16	16							
269	17	e	01	20	45		08.5	1			
		L		25.2							
		M		26.4							
270		P	13	08	41					8910 80.2°	Qrands îles de la Sonde.
		e(S)		18	47						





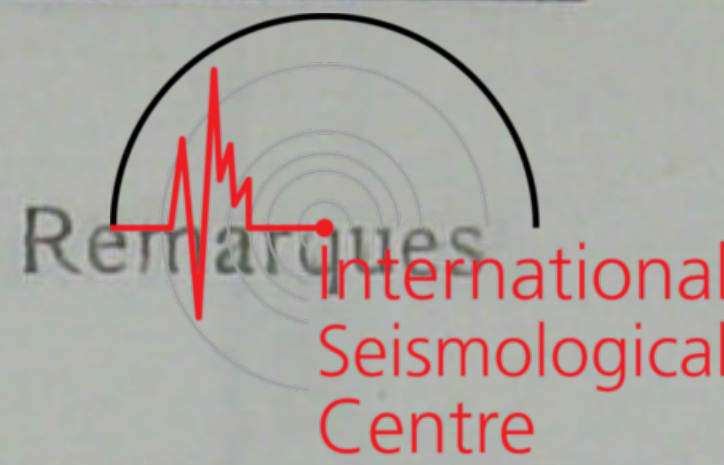
Nº	Date	Phase	Heure			Période	Amplitude μ			Δ km $^{\circ}$	Remarques
			h	m	s		A_n	A_e	A_s		
271		P	17	42	54						Troublé par mouvements micro-sismiques très fortes
272		e	22	34	33						Traces
273	18	eL	17	08.6							
274		e	19	06	14						Troublé par mouvements micro-sismiques
		e		10	00						
		e			55						
		e		17	57						
		e		25	37						
		eL		35							
		M		40.4		19.3		2	1		
275	20	e	09	58	06						
		F	10	03.5							
276		P	19	18	22					1010	Jran
		e(S)	20	10						9.1°	
		e		42							
		eL		21	54						
		M		22.8		09.0		1			
277	21	eP	10	24	34						Amérique Cen-
		iPP	29	09							trale, tr. d. t. des-
		SKS	35	07							tructeur en Sal-
		PS	38	24							vador
		PPS	39	38							
		SS	44	32							
		e	45	51							
		eL	59.2								
		M	11	08.8		24.0		42			
278		e(P)	15	55	48					8160	Océan Atlantique
		e(S)	17	05	16					73.4°	Phases douteuses
		eL	23.6								
		M	29.8			16.0		2			

Nº	Date	Phase	Heure			Période	Amplitude μ			Δ km °	Remarques
			h	m	s		A_n	A_e	A_s		
279		eP	21	50	47					7900	Grandes îles de la Sonde. Phase principale très faible
		P _c P		51	16					71.1	
		iS	22	00	02						
		PS			48						
		e		04	37						
280	22	eP	11	48	36					Ca.	Océan Pacifique (Tonga)
		e		52	34					15000	
		PS	12	02	16					135°	
		L		40							
		M		58.6			18.0		4		
281		P	17	06	48					2600	Ressenti en Sicile et en Calabrie
		S		11	01					23.4°	
		SS	12		08						
		eL		15.6							
		M		17.6			14.0		2		
282		(e)	23	03	15						Faible séisme éloigné
		(e)		16	49						
		eL		35							
		M		44.8			20.0		2		
283	23	eP	06	04	25					2030	Méditerranée Ondes faibles
		eS		07	51					18.3°	
		eL		10.3							
		M		11.7			10.0		1		
284		eL	18	01.4							
285	24	e	23	30	32					540	Iran
		P			36					49°	
		e			47						
		S		31	32						
		e(L)		32	08						De 23 ^h 33 ^m superposition d'une séisme nouvelle

Nº	Date	Phase	Heure			Période	Amplitude μ			Δ km	Remarques
			h	m	s		A_n	A_s	A_z		
286		i	22	33	51	08.8				10	Début perdu dans le tr. d. t. précédente
		iL		34	16						
		M		34	9			11			
287	25	eL	06	12.6						61.80	Ondes faibles
288		L	14	10.6		16.0				51.91	Ondes faibles
		M		15.0				1		51.91	
289	26	e	05	20	35	15.5				10	Troublé par agitation
		(e)		21	05						
		L		36							
		M		40.1			2		2		
290		e	16	27	47	15.5				10	Phases indiscernables
		P'			56						
		e		28	07						
		e		31	01						
		i			53						
		i		34	01						
		i		37	11						
		e		48	50						
		e		53	43						
		L	17	20							
291		e	20	42	17					10	Mouvement faible
		e		52	57						
		eL	21	17							
292		P	22	28	03					510 4.6°	Jran
		S			55						
		L		29	15						
293		e	22	34	27					10	Mouvement incertain, superposé en séisme précédente
		e		43	50						
		e		45	59						
		e		47	12						
		e		53.1							



Nº	Date	Phase	Heure			Période	Amplitude μ			Δ km	Remarques
			h	m	s		A_n	A_e	A_z		
294	27	(e)	01	49	50					790	Trouble par agi-tation
		e		50	43						
		e		51	33						
295		e	06	16	47					7.1°	Tr. d. t. local, très faible
		F		18							
296		eP	10	47	11	10.0			1	790	
		eS		48	37						
		e		49	11						
		L		53	6						
		M		56.0							
297		e	13	05	45					7.1°	Mouvement fai-ble
		e	14	10	05						
298		e		11	57					7.1°	Mouvement fai-ble
		e									
299	28	eP	02	32	29	16.0			2	7720 69.5°	Ressenti en Ki-ou-Siou
		P			34						
		e		33	59						
		e(PPP)		36	53						
		S		41	35						
		e(SKS)		42	18						
		L		57.5							
		M	03	04.7							
300		eP	05	13	45	17.0			1	7800 70.2°	Replique?
		eS		22	55						
		L		46							
		M		48.3							
301		L	05	53	53					7.1°	Tr. d. t. local très faible
		F		54.1							



Nº	Date	Phase	Heure			Période	Amplitude μ			Δ km °	Remarques
			h	m	s		A_n	A_e	A_z		
302		(e)	18	08	05						
		e		09	07						
		e			13						
		e			40						
303	30	e	00	43	26						Mouvement incertain
		e		49	51						
304	31	L	09	16			20.0	2			Début perdu par changement du papier
		M		23.4							
305		L	11	12			20.0	1			
		M		24.4							
306		(e)	14	06	10		15.0	1			Mouvement faible
		e		15	58						
		L		41.6							
		M		53.7							
307		e	15	26.6				1			
		e(L)		29.9							
308	1	P	11	04	39		12.0	1	1	1745 15.7°	
		eS		07	39						
		eL		09.4							
		M		10.4							
309	2	e	20	10	15		16.5	2	2		Troublé par agitation
		e		06	22						
		L		09.0							
		M		11.9							
310	3	e	00	30	57						Mouvement faible parmi MS

Nº	Date	Phase	Heure			Période	Amplitude μ			Δ km	Remarques
			h	m	s		A_n	A_e	A_s		
311		P	10	51	57	21.8				13100 117.9°	Océan Pacifique
		PP		56	35						Destructeur en Mexique
		SKS	11	02	31						
		SKKS		03	22						
		L		28							
		M		45.8							L, M d'apres enregistrement mécanique
312		e	17	36	20					Deux tr. d. t. De pouillement impossible	
		e		45	43						
		e		49	10						
		e		54	47						
		eL	18	42							
313	4	P	02	11	55	22.0				7960 71.6°	Océan Pacifique
		e		12	09						Ressenti en Nippon et Hokkaido
		eS		21	13						
		eL		37							
		M		39.7			2				
314		e	13	01	21	12.0				1	
		L		02	10						
		M		02.9							
		F		06.5							
315		eL	20	07.5							Ondes faibles
316		e	22	08	45						
		eL		42							
317	6	iL	00	32	49						Caucase. Tr. d. t. très faible
		F		33.8							
318		P	06	37	52						Océan Pacifique
		S		47	27						Troublé par mouvements microsismiques
		eL	07	38.5							
319		SKS	09	08	38						Débu perdu par changement des feuilles. Océan Pacifique. Destructeur en Californie
		PS		10	54						
		eL		30.5							
		M		45.2			20.0	9			





Nº	Date	Phase	Heure			Période	Amplitude μ			Δ km °	Remarques
			h	m	s		A_n	A_e	A_s		
320		e(P)	10	36	57					(10260)	Phases douteuses
		e(S)		48	07					92.3°	
		L	11	10.5							
		M		15.3		16.0	1				
321		eL	12	50.0							Ondes faibles
322	7	e	22	04	45						
		e(L)		06	36						
323	8	e	02	53	26						
		e		56	58						
324		eL	03	45.6							Traces
325		eP	05	05	42						
		eL		27.5							
326		eL	08	35							Phases préliminaires pendant des changements de feuilles. Phases indiscernables. Deux tr. d. t.
327		e	11	03	14						
		e		09	39						
		e	15	15							
		e	26	19							
		e	28	43							
		L		35.5							
		M		38.8		16.0	4				
328		P	15	06	28					8550	Océan Pacifique.
		$P_c P$			41					76.9°	Ressenti en Mindanao
		S	16	16							
		SKS		51							
		SS	21	41							
		eL	33								
		M	44.8			20.0	1				
329		(e)	17	06	54					(86)	
		L		07	04					0.8°	Tr. d. t. très faible
		F		08							



Nº	Date	Phase	Heure			Période	Amplitude μ			Δ km	°	Remarques
			h	m	s		A_n	A_e	A_s			
330	9											
331		P	14	50	39							
		eS	15	01	03							
		eL	27.5									
		M	33.3									
332		e	19	44	05							
		F		47.5								
333	10	eL	04	17.0								
334		eL	10	55								Quelques ondes longues
335		e	13	46	21							Très faible
		eL			37							
		F		47.5								
336		P	20	33	29							Océan Pacifique
		S	43	30								Ressenti aux îles
		SKKS	44	01								Mindanao et Cé-
		e(SS)	48	50								lébes
		eL	21	01.5								
		M		15.7								
337		eP	23	07	07							Océan Pacifique
		eS	17	08								(îles Aléoutie-
		eL	37									nnes)
		M		43.8								
338	11	eP	08	38	52							Mer d'Arabie
		S	43	43								
		L	49.2									
339		e	10	47	07							
		eL	11	21.0								
		M		25.2								



Nº	Date	Phase	Heure			Période	Amplitude μ			Δ km	Remarques
			h	m	s		A_n	A_s	A_g		
340		P	13	27	58					445	
		S		28	44					4.0°	
		e(L)			52						Tr. d. t. faible
341		e(P)	17	12	49						
		e(S)		23	14						Océan Pacifique
		L		46.5							(Marianes)
		M		59.0		18.0					
342	1	(e)	22	46	05						
		e		57	06						
		L	23	21							
		M		23.0		19.0					
343		e(P)	23	28	03						
		e(S)		31	12						Superposé en tr.
		e(L)		34	21						d. t. précédent.
											Méditerranée
344	13	eP	21	08	26					7330	
		e(PP)		11	00					66.0°	
		eS	17		07						Mer de Chine
		e(PS)			31						Sud. Ressenti en
		eL	33.4								Luçon
		M	43.6			17.0					
345		e	22	22	55						
		e		27	12						
		e(L)		32.7							
346		e	23	32	31					102	
		iL			43					0.9°	
		F	36								
347	14	P	06	10	32						
		e(PPP)		14	57						Mer de Chine
		S	19		25						Sud. Ressenti en
		PS			58						Luçon
		SKS	20		23						
		SKKS			59						
		e	27		33						
		eL	36.5								
		M	41.8			16.0	3				



Nº	Date	Phase	Heure			Période	Amplitude μ			Δ km	Remarques
			h	m	s		A_n	A_e	A_z		
348		eP	11	31	17	14.0	1			7420 66.8°	Océan Pacifique
		eS		40	08						
		eL		56.5							
		M	12	02.5							
349	16	iP	01	28	54	24.0	3			6670 60.0°	Ressenti en Su- matra
		S		37	06						
		SKS		38	39						
		eL		49.5							
		M		57.8							
350		e	01	58	08						Tr. d. t. faible, superposé en séi- sme précédente
351		e	12	10	21*					400	Jran—Arménie
		iP			24*					3.6°	
		eS		11	02*						
		L			24*						
352		eL	17	40	15						Tr. d. t. faible (Caucase)
		F		41.0							
353		e	23	06	00						Mouvement fai- ble
		e		11	34						
		eL		60							
354	17	e(PP)	23	35	20					Ca.	Océan Pacifique
		e(PS)		46	03					15000	(Samoa). Super- posé en préce- dent
		eL	00	34						135°	
355	18	e	00	55	*						Mouvement fai- ble
		L	01	22	*						
356		e	01	52	02*						
		(e)	02	04	07*						
		e(L)		16.2	*						



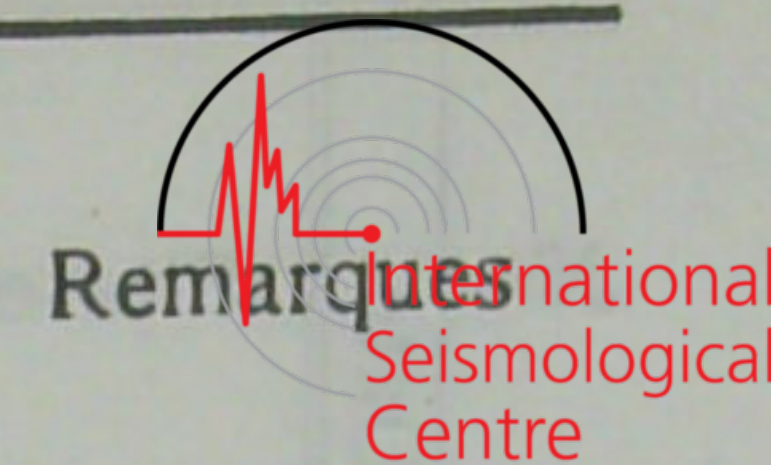
Nº	Date	Phase	Heure			Période	Amplitude μ			Δ km °	Remarques
			h	m	s		A_n	A_e	A_s		
357		eL	06	24.0							
358		eP	10	27	17					Ca.	Océan Pacifique
		(eP')		31	01					12900	Destructeur en
		PP			44					116.1°	Mexique
		e(PPP)	34	44							
		SKPS	38	19							
		PS	41	35							
		eSS	47	57							
		e(SSS)	52	39							
		eL	11	04							
		M	22.5			18.0		Ca.			
							280				
359		e	17	02	47						Tr. d. t. proche,
		e		03	54						très faible
		F		05.5							
360		(e)	17	47	34						
		e		51	47						
		eL	18	07.5							
361		P	21	31	35					8790	Mer des Indes
		eS		41	35					79.1°	
		eL		55.5							
		M	22	04.0		20.0		1			
362		e	23	45	19						Traces d'un tr.
		F		46.5							d. t. proche
363	19	eL	18	44.5							
364	20	(e)	04	03	48						
		e		07	29						
		e		11	00						
		e		17	21						
		(e)		28	00						
		eL	05	02.5							
		M		12.8		20.0		1			



Nº	Date	Phase	Heure			Période	Amplitude μ			Δ km	\circ	Remarques
			h	m	s		A_n	A_e	A_z			
365		e	05	41		18*						
		eL	06	35								
366		L	10	04.5		19.5						
		M		25.7				1				
367		eL	14	59.5								
368		eL	16	00								
369		e	19	26	13	13						
		e(S)		32	59							
370	21	eL	20	05.5		20.0						
		M		0.08				1				
371		e	05	01	15*	15*						
		eL		31	*							
371		eL	07	54	28*							
372		eL	09	58.5		17.5						
		M	10	0.16								
373		eL	11	36	*	19.5						
		M		37.0	*							
374		e	23	09	08*	15.0						
		e		18	49*							
		L		37.8	*							
		M		43.9	*							
375	22	P	00	46	50*	15.0				7960 71.6°		
		S		56	08*							
		PS			38*							
		eL	01	12.5	*							
		M		20.7	*							



Nº	Date	Phase	Heure			Période	Amplitude μ			Δ km	Remarques
			h	m	s		A_n	A_e	A_s		
376		e(P)	06	54	23					(500)	Tr. d. t. faible
		e(S)		55	24					4.5°	
		F	07	00							
377		eP	13	14	35					Ca	Océan Pacifique
		ePP		19	01					12600	(Mexique)
		PP			17					113.4°	
		SKS	25	06							
		e	27	44							
		PS	28	52							
		PPS	29	55							
		e	34	02							
		eSSS	39	38							
		eL	46								
		M	14	05.4		21.2		56			
378		eL	22	01	48						Faible tr. d. t.
		F		02.7							proche
379		e(P)	22	39	59					(514)	Tr. d. t. faible
		e	40	37						4.6°	
		e(L)	41	07							
380	23	e	02	30	56*						
		e	36	08*							
		e	39	55*							
		eL	03	39.4	*						
		M		43.4	*	21.5	1				
381		eL	10	12	45					8670	
		eS	22	39						78.0°	
		eL	47								
382		eL	21	25.5							
383		(e)	23	00.4							Quelques ondes
		eL		11.4							longues faibles
		M		14.5		14.0	1				



N°	Date	Phase	Heure			Période	Amplitude μ			Δ km	°	Remarques
			h	m	s		A_n	A_e	A_s			
384	24	eL M	16	41								
				43.9		14.0		0.3				
385	25	(e) e(S) eL M F	00	35	34							Phases douteuses
				36	20							
					37							
				38.5			09.5	0.4				
				43.5								
386		(e) e L M	01	07	34							
				08	39							
				09.4								
				0.3			08.5	1				
387		L	03	43.7								
388	26	P eS PS eL M	19	30	33					8060		Océan Pacifique
				39	56					72.5°		(Kouriles)
				40	27							
				57								
				20	07.0		17.0	2				
389	27	P iL	03	12	20					102		Akhalkalaki
					32					0.9°		
390		iL F	03	23	24							Replique (faible)
				25.3								
391		iL	03	25	36							" "
392		e F	03	55	05							" "
				56.2								
393		L F	04	25	22							" (très fai-
				27.5								ble)
394		P iL	05	21	07					102		Akhalkalaki
				19						0.9°		



Nº	Date	Phase	Heure			Période	Amplitude μ			Δ km	Remarques
			h	m	s		A_n	A_e	A_s		
395		P iL	05	21	45					94 0.9°	Superposé en précédent
396		e F	05	31	54						Replique (très faible)
397		L F	05	57	05						Replique (très faible)
398		L F	13	09	00						Replique (très faible)
399		e F	13	36	30						Tr. d. t. local, très faible
400	28	e F	15	32	11						Tr. d. t. local, très faible
401		e F	01	54	46						Tr. d. t. local, très faible
402		e(P) iL F	03	00	29					94 0.9°	
403		(eP) e F	17	20	06						Phases incertaines
404		L F	20	43	49						Tr. d. t. très faible (Caucase)
405	29	(e) eP S eL L M	02	33	42					1970 17.7°	Méditerranée
				34	04						
				37	24						
				38.5							
				39.5							
				40.1		19.5	7	12			

Nº	Date	Phase	Heure			Période	Amplitude μ			Δ km	Remarques
			h	m	s		A_n	A_e	A_s		
406		eL	15	23.0							Quelques ondes parmi mouve- ments microséi- smiques.
407		eL	16	30.1							
408		e(P)	18	27	06					7800	Océan Pacifique
		e(S)		36	16					70.2°	Ressenti en Ja- pon
		eL		55.4							
		M		59.8			19.0	1			
409		eP	18	37	09					1745	
		eS		40	09					15.7°	Superposé en séi- sme précédente
		eL		42.4							
		M		43.4			09.0	2			
410	30	eL	06	44.5							
411		e	15	10	04						Parmi mouve- ments microséi- smiques
		e			48						
		e(L)		03	04						
412	1	eP	00	57	46						
		(e)	01	00	22						Traces. Ressenti
		(e)			34						Crimée
413	2	L	14	16							
414		L	19	44	.						
415	3	eL	02	03.1							
416		e	02	54	44						
		e		58	26						
		eL	03	00.0							
		M		01.0			10.0	0.5			



Nº	Date	Phase	Heure			Période	Amplitude μ			Δ km	Remarques
			h	m	s		A_n	A_e	A_s		
417		eL	03	46.6							
418		eL	14	33.7							
		M		35.1		09.5			0.6		
419	4	L	04	02.0							
		M		02.8		10.0	0.6				
420		eL	07	50.4							
		M		50.7		10.0		0.6			
421	5	P	11	03	36					7940	Ressenti Suma-
		e(PP)		06	30					71.5°	tra
		S		12	53						
		eL		30.4							
		M		40.8		19.5		2			
422		eP	23	20	00*					(300)	Temps inexact
		i			34*					(2.7°)	
		iL			38*						
423	7	e	03	22	49						Faible tr. d. t.
		e		23	15						proche
424		e(PP)	16	34	03					Ca.	
		e		40	55					11200	
		e(SKKS)		42	18					100.8°	
		e(SS)		49	27						
		e		50	25						
		e(SSS)		53	47						
		eL	17	02.4							
		L		08.6							
		M		18.5		19.5		23			



N°	Date	Phase	Heure			Période	Amplitude μ			Δ km	°	Remarques
			h	m	s		A_n	A_e	A_s			
425	8	e(P)	11	21	32					(1700)		
		e(S)		24	28					(15.3°)		
		L	26	6	.							
		M	27.7			12.0		0.7				
426	9	(e)	11	30	47							Agitation
		e		34	11							
		e(L)	37.4									
427		e	13	16.6								Agitation
		e	21		51							
		e	23		28							
428		(eP)	20	35	51					(8750)		Très faible. Agi-
		(eS)		45	49					(18.8°)		tation. Ressent
		(eL)	21	00.4								Philippines
429		eL	22	22.2								
430		e	22	28	15							
		L		29	25							
431	10	P	00	53	50					6900		Mer d'Okhotsk
		S	01	02	14					62.1°		
		e(SKKS)		03	34							
		e(SSS)		09	08							
		eL	14	4								
		M	24.0			16.5		4				
432	11	e(P)	08	32	12					(8810)		Très faible
		(eS)		42	13					(79.3°)		
433		(eP)	16	42	11					(102)		Très faible tr. d.
		(eL)			23					(0.9°)		t. local
		e			30							
434		e(L)	22	53	02							Très faible tr. d.
												t. local



Nº	Date	Phase	Heure			Période	Amplitude μ			Δ km °	Remarques
			h	m	s		A_n	A_s	A_g		
435	12	P'	19	43	30	20.0	23			Ca. 12500 112.5°	Californie
		e(SKKS)		50	50						
		e		58	27						
		e	20	08	46						
		eL		11.5							
		M		29.5							
436	13	eL	09	19.9							Traces. Agita-
437	15	eP	02	34	55						tion
		e(L)		35	09						Caucase
		(e)			15						
		F		37.4							
438		L	04	15.2							
439		e	04	44	57						Caucase
		e		45	27						
		F		46.5							
440		P	05	20	22						Faible. Caucase
		e(L)			44						
		F		22.8							
441		L	08	16.8							
		M		17.2		12.0		0.7			
442		L	11	57	26	20.0					
443		e	16	15	56						
		eL		27.9							
444		(e)	18	16	31						
		e		17	36						
		(e)		18	28						



N°	Date	Phase	Heure			Période	Amplitude μ			Δ km	Remarques
			h	m	s		A_n	A_e	A_s		
445		eP	21.	12	35					8020	
		eS		21	59					72.2°	
		e		27.7							
		eL		31.8							
446		eL	21	50.5							
447		eP	23	28	32					7560	
		eS		37	30					68.0°	
		eL		55.5							
448	16	eL	08	09	5						
449		(eP)	21	12	06					(5880)	Océan Indien (Iles Chagos)
		S		19	36					(52.9°)	
		e(SSS)		25	00						
		L		28.7							
450	17	(e)	03	41	44						
		e		42	12						
451		eP	05	19	27						Mouvement faible
		e		21	39						
		e		22	44						
		eL		23.9							
452		e	06	50	42						Tr. d. t. proche, très faible
		e(L)		51	16						
453		e	11	38	35						Séisme faible.
		e		42	00						
		e		47	57						
		eL		53.5							
454		e(P)	17	39	31						Séisme faible. Mongolie
		e(S)		45	02						
		eL		48.7							



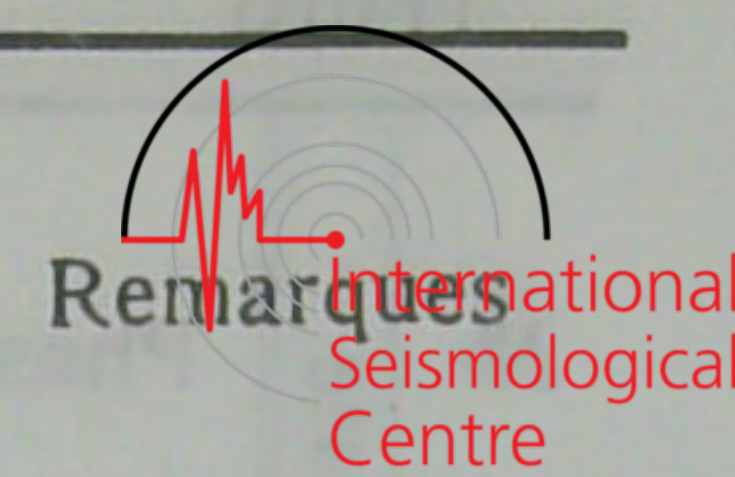
Nº	Date	Phase	Heure			Période	Amplitude μ			Δ km	Remarques
			h	m	s		A_n	A_e	A_s		
455		iL	19	11	16						Tr. d. t. faible. Caucase
		F		12.4							
456	18	P	05	13	08					7700	Ressenti Phillip-
		S		22	13					69.3°	pines
		e(SKS)		23	17						
		e(SS)		26	47						
		e		32.0							
		eL		41.8							
457		eL	08	00.5							Séisme proche.
		F		03.5							
458	19	e	12	09	52						Tr. d. t. faible. Caucase
		e		10	08						
		F		11.5							
459		P	23	07	17					263	Tr. d. t. proche
		L			50					2.4°	
		e		08	06						
		F		14.0							
460	20	eL	20	24	29						Agitation
		e		21	11.5						
461	21	i(L)	02	28	17						Tr. d. t. faible. Caucase
		F		29.5							
462		(e)	12	52	35						Parmi mouve-
		e		13	04	35					ments micro-
											séismiques
463		eL	17	38.5							Parmi mouve-
464		eL	20	33.5							ments micro-
		M		36.4			10.0		1		séismiques



Nº	Date	Phase	Heure			Période	Amplitude μ			Δ km °	Remarques
			h	m	s		A_n	A_e	A_s		
465	22	e	20	46	16						Tr. d. t. proche
		eL		46.9							
466		(eP)	21	40	31					(210)	
		iL			57					(1.9°)	
467		(e)	23	29	33						
		eL		33.0							
		M		34.0			10.0		0.5		
468	23	e	03	00	05						
		eL		29.5							
		M		39.6			20.0		1		
469	24	iP	04	40	19					102	
		iL			31					0.9°	
		F		44.5							
470		e(P)	18	39	29					(8910)	
		e(S)		49	35					(80.2°)	
		eL	19	04.5							
471	25	iS	08	43	30						
		e		53	24						
		L	09	05	28						
472		PP	09	32	14					Ca.	
		PS		41	48					13000	
		SS		48	24					117°	
		SSS		52	28						
473		eL	10	04.5							
		M		21.7			19.5		25		
473		(e)	22	05	53					(248)	
		L		06	24					(2.2°)	
		F		07.9							



Nº	Date	Phase	Heure			Période	Amplitude μ			Δ km °	Remarques
			h	m	s		A_n	A_e	A_s		
474	27	e F	05	36	56						
				37.4							
475		iP PP PPP SKS SKKS eS SS eL	21	32	34					10585 95.3°	Océan Pacifique. Ressenti Nouvel- le Guinée
			36	00							
			38	40							
			42	52							
			43	21							
				58							
			48	52							
			56.5								
476	29	e e	01	05	24						Mouvement très faible
				42							
477		e eL M	01	44	38						
			02	08.4							
				13.8		16.0					
							0.8				
478		(e) e eL M	13	49	50						Très faible
			14	09	07						
				41.5							
				44.2		22.0					
							2				
479	30	P S eL	12	25	52					8670 78.0°	Ressenti Célèbes
				35	46						
				59.5							
480	1	eL	03	35.5							
481		P S PS e(SS) eL	10	57	55					8220 74.0°	Océan Atlanti- que (Région d'Ascension)
			11	07	26						
					44						
				11	47						
				22.5							



Nº	Date	Phase	Heure			Période	Amplitude μ			Δ km	Remarques
			h	m	s		A_n	A_e	A_s		
482	2	iP	04	37	54	30.0	6			9430 84.9°	Détroit des Moluques
		SKS		48	09						
		S			26						
		L	05	10							
		M		13.8							
483		(e)	09	56	04						
		e		57	53						
		eL	10	00.4							
484	3	eL	04	49							
485		eP	11	46	57					2440	Ressenti Italie
		S		50	57					22.0°	(Mer Adriatique)
		eL		54.8							
		M		56.4			09.0	0.4			
486	4	iP	06	48	53					(7070)	Mer d'Okhotsk
		PPP		53	09					(63.6°)	
		e(S)		57	26						
		e(SKS)		58	15						
		e(SSS)	07	05	44	13.0					
		eL		17.8							
		M		24.1			20.0	1			
487		eL	13	33	21						
		M		35.7			18.0	0.9			
488	5	P	00	57	56					7390	Région Philippines
		e(PP)		58	44					66.5°	
		S	01	06	45						
		eSSS		14	39						
		eL		26.9							
		M		33.7			16.0	0.7			
489		e(P)	12	10	46					(8530)	Phases douteuses
		e(S)		20	33					(76.8°)	
		e		36	41						
		eL		47.3							
490		(eP)	21	33	47					(5540)	
		(eS)		40	59					(49.9°)	
		eL		51.5							



Nº	Date	Phase	Heure			Période	Amplitude μ			Δ km	Remarques
			h	m	s		A_n	A_e	A_s		
491		eL	22	35.5							
		M		42.8		18.0				1	
492	6	eL	23	25.5							
493	9	eP	07	48	01					1670	Méditerranée.
		S		50	54					15.0°	Destructeur Va-
		L		52.7							digo (Asie Mine-
		M		54.1		08.0			2		uere)
494	0	e	01	20	11						
		e		23	51						
		e		34	29						
		eL	02	24							
495		e	03	58	34						
		L	04	24							
		M		32.9		18.0			1		
496		e	06	59	24						
		e			47						
		e	07	00	01						
497		eP	17	01	07					337	Jranie
		i			47					3.0°	
		iL			50						
498		eL	22	48.9							
499	11	eL	06	43							
500		e(S)	10	04	39						
		eL		27.3		21.0					
		M		38.8		16.5			2		
501		eL	00	21		18.0					Mouvement faib-
											le



Nº	Date	Phase	Heure			Période	Amplitude μ			Δ km	Remarques
			h	m	s		A_n	A_e	A_s		
502		P	03	36	18	18.0	39	0.81	0.80	9110 82.0°	Jles Aléoutien- nes
		PP		39	45						
		S		46	34						
		SKS			38						
		SKKS			50						
		e(SS)		52	20						
		e			46						
		SSS		56	28						
		e	04	03	07						
		L		10							
503		M		18.0							
		(e)	19	02	04						
504		iL		02	40						
		eL	23	11							
505	13	P'	21	15	58	23.0	4	0.81	Ca. 15000 135°	Océan Pacifique Région Nouvelle Zélande	
		PKS		19	21						
		PPP		21	41						
		eL		58							
		M	22	26.7							
506	14	e	00	00	18	23.0	4	0.81	4735 42.6°	Mouvement très faible Tibet	
507		P	04	47	36						
		PP		49	36						
		iS		54	04						
		iL		57	42						
508		P	04	48	02	23.0	4	0.81	4685 42.2°	Replique. Super- position	
		PP		49	58						
		iS		54	27						
		iL		58	10						
509		e	04	53	50	23.0	4	0.81	75.00	Superposition d'un mouvement nouveau	
510		e	07	19	32						
		(e)		27	14						
		eL		33.3							



Nº	Date	Phase	Heure			Période	Amplitude μ			Δ km	Remarques
			h	m	s		A_n	A_e	A_s		
511		eP	12	42	41	19.0	7	2875 25.9°		Mer d'Arabie	
		eS		47	15						
		eL		51.9							
		M		58	2						
512		(e)	13	19	25					Superposition d'un mouvement faible	
		eL		33							
513	15	P	04	38	39		1	2040 18.4°		Grèce	
		S		42	06						
		eL		44	09						
514		L	11	01	21					Très faible tr. d. t. proche	
515		(e)	15	02	59		1			Traces	
		(e)		10	46						
		eL		34	5						
		M		40	5						
516	16	e	03	07	52					Faible	
		e		09	50						
517		eL	07	05						Traces	
518		(eP)	21	58	51		1	(2120) (19.1°)			
		(eS)	22	02	25						
		eL		08	3						
519	17	(eP)	04	16	28		1	(2120) (19.1°)			
		(eS)		20	02						
		eL		25	5						
520		e	06	12	49		1	(94) (0.9°)		Faible	
		iL		13	00						
521		eL	08	43							
522		L	13	22	06					Faible tr. d. t. proche	
523	18	e	02	09	40*		1				
		e		10	23*						
		e		11	17*						



Nº	Date	Phase	Heure			Période	Amplitude μ			Δ km	Remarques
			h	m	s		A_n	A_e	A_s		
524	19	(P)	00	50	50					(210) (1.9°)	Très faible
		(L)		51	16						
525		e	05	59	50						
		eL	06	05.3							
526		(e)	18	11	20	18.0		1			
		eL		23							
		M		28.1							
527	21	iP	04	26	18	17.0		11	(7560) 68.0°	Ressenti Formo- sa	
		e		28	44						
		S		35	16						
		PS			38						
		eSS		40	52						
		eL		52							
		M		59.5							
528		(P)	08	41	34			11	(255) (2.3°)		
		(L)		42	06						
		e			17						
529	22	P	11	22	37	15.5		9	(6590) (59.3°)	Mer Jaune	
		S		30	45*						
		eL		45	*						
		M		50.9	*						
530		e	18	22	58			78	0.7°		
		eL		23	43						
		e		24	00						
531	24	eP	03	33	44			9	(7780) (70.0°)	Ressenti Luçon	
		iL			53						
531		iP	12	21	09*			9	(7780) (70.0°)	Ressenti Luçon	
		S		30	18*						
		eL		49.5	*						
532	26	e	00	20	12*						Faible tr. d. t. proche
533		eL	10	04		15.0					



Nº	Date	Phase	Heure			Période	Amplitude μ			Δ km	Remarques
			h	m	s		A_n	A_e	A_s		
534	28	e e(L)	13	07	40						
					49						
535		iL	13	51	49						Tr. d. t. proche
536		e	14	36	17						" " "
				37	33						
		e			45						
537		P	18	03	39						" " " "
		e		04	06						
538		e(L)	18	13	44						
539	29	e	10	43	56						
540	30	P (eS)	16	29	53					(9290)	Mouvement fai-
				40	18					(83.6°)	ble
		eL			47						
541	31	e	02	48	43						Tr. d. t. proche
542	1	eL	13	39	22						Faible
543	2	e	02	02	49*						Traces
				05	41*						
		eL		08.0	*						
544		eL	02	24	*						
545		P	13	08	28					8730	Jles Bonin
		eS		18	25					78.6°	
		e(PS)		19	17						
		eL		42							
546	3	e	04	52	32						
		eL		50	06.6						



Nº:	Date	Phase	Heure			Période	Amplitude μ			Δ km	Remarques
			h	m	s		A_n	A_e	A_s		
547		iP	12	10	02	17.5	6	7	7600 68.4°	Océan Pacifique. Ressenti Nippon	
		i			15						
		PP		12	47						
		iS	19	02							
		PS			25						
		eL	35								
548		M	43.7			17.5	6	7	7600 68.4°	Océan Pacifique. Ressenti Nippon	
		eL	16	04							
549	6	eL	17	19	*	16.0	0.9			Traces	
		M		22.9	*						
550		e	22	18	22*						Traces d'un tr.
											d. t. proche
551	7	e	00	39	17*						Tr. d. t. proche.
552		eL	08	59							Très faible
553	8	eP	01	56	24						Début pendant
		(PP)	02	00	35						changement du
		PS		10	11						papier
		PPS		11	26						Ressenti Mexique
		eL		39							
554		P	07.5		*						Jranie
		e	P+	01	00						
		e	P+	01	58						
		S	P+	03	00						
		L	P+	04	14						
		M	P+	06.1							
555	9	P	06	59	05						Ressenti îles Mo-
		PP	07	02	32						luques
		e(SKS)		09	42						
		eL		22							
556		iP	13	51	53						Jles Moluques.
		e(SKS)	14	02	36						Tr. d. t. destruc-
		eL		15.9							teur
557		eL	23	46							Traces



Nº	Date	Phase	Heure			Période	Amplitude μ			Δ km	Remarques
			h	m	s		A_n	A_e	A_s		
558	11	eL	04	58							
559		iP	14	18	54					3500	Tian-Chan
		eS		24	11					31.5°	
		eS			50						
		e(SSS)		26	23						
		e		31	11						
		e			38						Superposition d'un mouvement nouveau?
560	12	iP	07	50	48					(8570)	
		e(S)	08	00	37					(77.1°)	Faible
		eL		16							
561		e(P)	22	38	44						Ressenti Karabakh, Lenkoran, Salyany
		e			50						
		e		39	29						
		e			39						
		e			59						
562	14	eP	08	55	15					8530	
		eS	09	05	02					76.8°	
		e(SKS)			29						
		eL		26							
563		eL	18	21							
564	15	P	11	25	05					8710	
		eS	35	01						78.4°	
		e(SSS)	44	12							
		eL		55.2							
565		P'	14	14	23					Ca	Nouvelle Zélande. Tr. d. t. des- tructeur
		e		16	01					15500	
		SKS		21	19					139.5°	
		L	15	05							
		M		22.2		20.0			10		
566	16	e	20	33							Traces
567	17	eL	22	09.7							
568	18	eL	14	54							
		M		57.8		20.0	2				

Nº	Date	Phase	Heure			Période	Amplitude μ			Δ km	Remarques
			h	m	s		A_n	A_e	A_z		
569	19	e	03	06	21						
570		e	06	48	50						Traces d'un tr.
		e	49	53							d. t. proche
571	20	e(L)	14	31	38						Tr. d. t. proche
		F		33.6							
572		eP	15	52	52					6010	Jles Nicobares
		S	16	00	29					54.1°	
		L		10.7							
		M		19.0		18.8		1			
573		(e)	21	32	58						
		L		36.8							
574	21	eP	06	05	54					674	
		e	07	18						6.1°	
		eL		26							
575		eL	19	35							
576	22	eL	18	30							
577		eL	19	44							
578		(eP)	22	58	57					Tr. d. t. proche,	
		e		59	19					très faible	
579	23	eP	14	32	17					7100	Foyer profonde
		iP	32		20					63.9°	$h=0,06$ R.
		pP	33		26						Mer de Japon
		sPP	37		12						
		S	40		25						
		iSP		36							
		L	47								
580		iP	16	36	10					94	
		iL		21						0.9°	
		F	43								





N°	Date	Phase	Heure			Période	Amplitude μ			Δ km °	Remarques
			h	m	s		A_n	A_e	A_s		
581		iL F	17	03	48						Faible tr. d. t. proche
582		eL	23	05							Traces
583	25	eL	00	02							"
584		P e(SKS) e(S) e(PS)	22	13	19					(9820) (88.4°)	Ressenti îles Palaos
		L M	23	42							
			24	09							
			51	57							
			59.5			18.0			1		
585		iL	23	09	08						Tr. d. t. proche, très faible
586	26	eL	06	06							Traces
587		eL	15	50							
588		iP S	19	24	30					1810 16.3°	Destructeur Grè- ce
			27	36							
589		P S L	21	30	43					1920 17.3°	Réplique
			33	59							
			36.3								
590	27	L	02	09.7							
591		eL	03	33	35						
		L	36.0								
592		eL	07	37.7							
593		eL	09	40.0							
594		P eS L M	11	23	33					1585 14.3°	(Réplique?)
			26	18							
			29.0								
			30.4			14.0			0.6		



Nº	Date	Phase	Heure			Période	Amplitude μ			Δ km	Remarques
			h	m	s		A_n	A_s	A_g		
595	28	eL	19	18							Traces
596		eL	11	32.8							"
597		eL	13	04.9							
598		eP	16	55	59					1955	Grèce
	29	P		56	03					17.6°	
		S	59	18							
		L	17	02.1							
		M		03.2			11.5		8		
599		eL	18	55							Traces
600		L	22	06.8							
		M		08.2			11.5		1		
601	29	eP	00	39	14						
		(e)		42	45						
		L		49.7							
602		eP	04	01	11					1955	Grèce
		i			16					17.6°	
		S	04	30							
		L		07.4							
		M		08.4			11.3		28	28	
603		eL	06	59.8							
604		L	12	28.1							
605		(e)	14	03	41*						
		(e)		12	27*						
		L		33.4*							
		M		46.6*			17.0		0.9		



Nº	Date	Phase	Heure			Période	Amplitude μ			Δ km	Remarques
			h	m	s		A_n	A_s	A_a		
606		iP	17	57	51	21.0	35	20	7720	69.5°	Jles Kouriles
		e(PPP)	18	02	17						
		S	06	57							
		SKS	07	17							
		SKKS		48							
		eL	24.7								
607		M	33.2			21.0	35	20	7720	69.5°	Jles Kouriles
		e	21	47	32						
608	30	L	55.6			21.0	35	20	7720	69.5°	Traces
		eL	01	50.8							
		iP	06	16	22						
		e	19	19							
		e		27							
		e(S)		42							
609		e	20	07		21.0	35	20	1970	17.7°	Traces
		eL	22.4								
		e	07	34	46						
		e	45.8								
		eL	12	07.7							
		eL	14	12.7							
610		eL	19	42.2		21.0	35	20	1970	17.7°	Traces
		eL	00	41.7							
		(e)	08	11	40						
		L		17.4							
		e	09	09	07						
		L		27							



N°	Date	Phase	Heure			Période	Amplitude μ			Δ km	Remarques
			h	m	s		A_n	A_e	A_s		
617		e	13	40	03						
		e		43	15						
		eL		46.0							
618		P	15	18	59					(7600) (68.4°)	
		e(S)		27	59						
619		eL	21	21.6							
620	2	eP	03	13	54					Ca. 12600 113.4°	Amérique Cen- trale
		ePP		18	22						
		PPP		20	41						
		e(SKS)		24	33						
		SKKS		25	42						
		e		49							
		L		53							
621		eP	03	25	45					1730 15.6°	Bukhara
		eS		28	44						
		M		33.1			11.0	19			
622		eL	10	13							
623	3	eL	04	02.7							Traces
624		eP	09	27	37					337 3.0°	
		iP			39						
		i		28	17						
		iL			20						
625		L	20	22	55						
626	4	e	10	47	26						Tr. d. t. proche. Très faible
627		e	01	34	21						
		L		36.4							
628	7	e	13	23	45						
		iL			52						



Nº	Date	Phase	Heure			Période	Amplitude μ			Δ km	Remarques
			h	m	s		A_n	A_s	A_z		
629	8	e L	01	04.0							Mouvement faible
				09.0							
630	9	(eP) e(S) eL	06	28	42					(1840) (1 6.6°)	Grèce
			31	51							
			34.5								
631		P e(S) S eL	13	00	25					7880	
			09	26						70.9°	
			39								
632		eL	19	46.5							
633		L	22	38.1							
634	10	e	09	25.0							
635		eL	15	10							
636		L	19	41.5							
637	11	e e	19	36	14						Tr. d. t. proche. Faible. Superpo- sition d'un faible tr. d. t. proche
				51							
638		eL	20	05							
639	12	P S L	03	03	14					1910	Grèce
			06	29						17.2°	
			09.1								
640		e e	06	44	27						
			49	31							
641		(eP) eL	09	47	23						
			10	17							



Nº	Date	Phase	Heure			Période	Amplitude μ			Δ km	Remarques
			h	m	s		A_n	A_e	A_s		
642		e	11	48	16					9010	9.3 9.6
		eL		54.2							
643		P	19	48	11		18.5	5	7960 71.6	17.0 12.0 10.0	
		eS		57	29						
		PS		58	06						
		e	20	07	23						
		L		17.4							
		M		23.6							
644		P	19	48							
645	13	L	11	30							
646		e	16	03	00						
		L		06							
647	15	e	22	22	53					9.0 8.0 7.0	Superposition d'un tr. d. t. pro- che, très faible
		e	25	33							
		L	26	37							
648	16	eL	00	47							Traces
649		eL	08	40							
650		iP	12	20	19		24.5	60	9010 81.1	Alaska	8.0 7.0 6.0
		e(PKS)			56						
		PP	01	23	56						
		e	26	56							
		e	30	27							
		iS	30	30							
		e(SKS)			39						
		SS	36	13							
		e	41	03							
		L		48							
		M		58.7							



Nº	Date	Phase	Heure			Période	Amplitude μ			Δ km	Remarques
			h	m	s		A_n	A_e	A_s		
651	17	(P)	13	40	08					Ca. 13000 117°	Région îles Sa- lomon
		PP	44	30							
		e(SKS)	50	38							
		SKSP	52	13							
		e	53	40							
		ePS	54	28							
		eL	14	19							
652		aL	22	23							Faible
653	18	P	04	21	46					8690 78.2°	
		S	31	41							
		e(PS)	32	47							
		L	57								
654		e	04	45	20					86 15 7A TO 15	
		e	47	23							
		e	51	42							
655		eL	07	02							
656		e	12	33	56		12.5	0.4	187 1.70	402 3.6°	
		L	45								
		M	50.0								
657	19	P	09	46	58				187	402 3.6°	
		eL	47	21							
658	20	P	07	25	54				1.70	102 0.90	
		eL	26	46							
659		e(P)	18	24	04				0.90	102 0.90	
		(e)	34	22							
		L	52.7								
660	21	eP	07	39	08				102 0.90	102 0.90	
		i			16						
		iL			20						
661		L	14	57.8							



N°	Date	Phase	Heure			Période	Amplitude μ			Δ km	Remarques
			h	m	s		A_n	A_e	A_z		
662	22	L	03	20							Faible
663	23	e	00	23	55						Parmi mouve-ments microséismiques
		e		34.6							
		(eL)	01	17							
664		P	13	40	11					1690	Méditerranée
		S	43	06						15.2°	(Grête)
		L	44.8								
		M	46.2				10.5	6			
665		P	17	46	14					1600	Réplique? Fai-
		S	49	00						14.4°	ble
		eL	50	42							
666		iP	21	38	29					7620	Parmi mouve-ments microséismiques.
		eS	47	30						68 6°	Res-senti Formose
		L	22	07.8							
		M		11.4			15 5	2			
667	24	P	19	52	13						Très faible
668	25	L	08	16							Traces
669		iP	17	12	23					6820	Séisme faible
		e	13	52						61.4°	
		e	16	38							
		S	20	43							
		SKS	21	42							
		e	27.4								
		e	29.6								
		L	41								
670	26	L	20	42.9							Faible
671	28	e	04	05	48						"
		eL		42							



Nº	Date	Phase	Heure			Période	Amplitude μ			Δ km	Remarques
			h	m	s		A_n	A_s	A_z		
672		(e) L	11	22	52						
				35							
673	29	e e eL	03	56							
			04	05	57						
				36							
674		P S L	10	04	01					2625	
			08		16					23.6°	
				12							
675		P e(L) M	11	13	36						S pendant l'interruption de la lumière
			21.4								
			28.1			11.0					
							9				
676	30	iP P _c P PP S SKKS PS SS e L M	20	59	14					9170	
				24						82.5°	
			02		50						
			S	09	33						
				41							
			SKKS								
			PS	10	37						
			SS	15	00						
			e	20	39						
			L	25.6							
			M	39.2		21.5			14		
677		L	23	11							
678	1	eP S eL M	16	23	16					1875	
				26	28					16.9°	
			eL	28.5							
			M	30.3		10.5	3	6	4		
679	2	eL	04	39							
680		iP' e(PP) e(SKKS) e PS e e(L)	11	23	15					Ga.	Océan Pacifique
				24	17					17000	Région île de
			e(SKKS)	31	21					15.3°	Pâques
			e	34	05						
			PS	45	04						
			e	46.9							
			e(L)	52.5							

Nº	Date	Phase	Heure			Période	Amplitude μ			Δ km	Remarques
			h	m	s		A_n	A_e	A_s		
681		eL	12	23							
682		eP L	21	24	20 55						
683		L	23	46.3							Faible
684	3	eL	15	88							Très faible
685		P S e(PS) L M	19	55	19					8950 80.5°	Ressenti îles Mariannes
686	4	e	19	50.2							Mouvement in- certain
687	6	eL	01	02							Faible
688		P eS e eL	12	57	59					6760 60.8°	Séisme faible
689		eL	18	25							Faible
690	8	eL	02	07							
691		(e) P e(S) eL	05	37	44					(5660) 50.9°	
692		(eP) iL	09	09	02					(102) (0.9°)	
693		P e iL	09	49	10 14 22					102 0.9°	



International
Seismological
Centre

Nº	Date	Phase	Heure			Période	Amplitude μ			Δ km	Remarques
			h	m	s		A_n	A_e	A_s		
694	9	P	18	37	55					4045 36.3°	Ressenti Gau- hati (Assam)
		eS		43	44						
		e		47	22						
		L		56.5							
695		iL	22	46	51						Tr. d. t. proche
696	10	eL	11	40							Très faible
		M		43.7							
697	12	eL	23	09.7							
698	13	iP	04	56	58						Foyer profonde
		pP		58	10						$h=320$ km. Res-
		pPP	05	01	03						senti Japon
		S	05	06							
		SP	06	21							
		eL		12							
699		eL	16	17.7							
700		eL	16	42							
		M		53.6							
701	14	e	00	51.8							
		L		54.7							
702		e	11	11	35						
		e	18	27							
		L	24								
		M	27.9								
703		eL	14	17.9							
704		eL	20	35							
705		(eP)	21	33	48						(2330)
		e	34	58							(21.0°)
		eS	37	39							
		eL		41.4							

Nº	Date	Phase	Heure			Période	Amplitude μ			Δ km	Remarques
			h	m	s		A_n	A_e	A_z		
706	15	(e)	00	38	22						
		e		44	53						
		eL		47.6							
707		P	11	57	52					(445)	
		e(L)		58	50					(4.0°)	
708	17	(e)	06	27	21						Océan Pacifique
		e(PPS)		53	12						(Mexique)
		L	07	02	44						
		M		12.9		16.0	2				
709		iL	09	41	20						Tr. d. t. proche.
710	18	P	13	58	54					8470	Très faible
		S	14	08	38					76.2°	Détroit des Mol-
		e(SS)		13	12						luques
		eSSS		16	24						
		L		19.8							
711	21	eL	18	30.6							
		M	19	33.4		14.5		0.8			
712	22	P	15	04	00					9030	
		P_cP			15					81.3°	
		ePP		07	45						
		PPP		09	33						
		S		14	12						
		i(SKKS)			36						
		PPS		15	51						
		eL		36							
713	23	eL	23	12							
714	24	eL	10	32							
715		e	16	42	47						
716		iL	20	08	09						Tr. d. t. proche.
											Très faible

International
Seismological
Centre



N°	Date	Phase	Heure			Période	Amplitude μ			Δ km	Remarques
			h	m	s		A_n	A_e	A_s		
717	25	eL	11	24							Traces
718		L	21	50.6							
719		e	23	08.6							Mouvement faible
		e		50.9							
720	26	eL	00	26							
721		(eP)	04	34	53						Ressenti Japan
		P			56						
		e	35	07							
		iS	43	52							
		PS	44	21							
		SSS	52	22							
		L	57.4			26.0					
722		M	05	08.4		16.0	11	12			
722		(eP)	17	41	45						
		(eS)	50	27							
		eL	18	07							Parmi mouvements microsismiques
723	27	P	03	49	17						
		S	59	09							
		eL	04	16.6							Océan Pacifique
		M	25.9			19.0					
724		L	09	49.8							
725		(eP)	21	33	33						
		(eS)	43	33							
		eL	22	04							
		M	12.0			19.0	1	2			Troublé par mouvements microsismiques fortes
726	29	e(PP)	02	08	11						
		e(PS)	18	21							
		e(PPS)	20	14							
		e	24	09							
		eL	52	07							
		M	03	03.4		19.0					



Nº	Date	Phase	Heure			Période	Amplitude p.			A km	Remarques
			h	m	s		A _n	A _e	A _s		
727		(e)	06	54							
		(e)	07	03.5		14					
		eL		21							
728		eL	08	31							Traces
729		eL	08	48							
730		(e)	11	29	11						Ressenti Chile
		eP'	30		39						
		PP	32		10						
		e	33		47						
		SKS	37		11						
		PS	42		02						
		eSS	49		28						
		eL	12	06		37.0					
		M		28.3		21.0	8	12			
731	30	e(P)	04	19	22						(7940)
		eS	28		39						(69.5°)
		eL		48							
732		eP	06	55	02						1080
		e(S)	56		58						9.7°
		e	57		26						
		L			37						
733	1	e	06	57	19						
		L	07	53							
734	3	eL	07	24							
		M		39.4		18.0	1				
735		L	09	21							
736		eL	18	31							Traces
737	4	P	04	14	25						
		eS	22		47						
		IPS	23		10						
		SSS	28		57						
		L		34.2							



N°	Date	Phase	Heure			Période	Amplitude μ			A km	Remarques
			h	m	s		A_n	A_e	A_s		
738		e	04	25	07						Tr. d. proche.
739		P	08	23	14						Très faible
740		P S	10	46	05					6480	Jnscription très
			54	07						58.3°	faible. Ressenti Borneo, Célèbes
741	5	L	22	41.8							
742		eP S eL M	22	53	41					7960	
			23	02	59					71 6°	
743	7	eP' PP SKS IPS PKKP PPS SS eSSS M	16	40	37					Ca. 12600 113.4°	Mexique
			41	34							
			47	37							
			51	17							
			38								
			52	29							
			57.8								
			17	02	07						
			M	33.6		16.5	21				
744	8	P e iL	01	54	39					240	
			55	04						2.2°	
			09								
745		(e) L	04	56	27					(240)	Tr. d. t. proche.
				57						(2.2°)	Faible
746		(eP) eS PS e L	15	27	21					(8020)	Océan Pacifique
			36	45						72.2°	
			37	49							
			53	13							
			56								
747	9	eL	04	36	43						Traces

Nº	Date	Phase	Heure			Période	Amplitude μ			Δ km	Remarques
			h	m	s		A_n	A_e	A_s		
748		e	09	18	16						Traces d'un tr. dt. proche
749		eL	09	28	27						
750		(eP)	10	30	43					(117)	
		i			54					(1.1°)	
		iL			57						
751		L	13	11	14						Traces d'un tr. dt. proche
752	10	(eP)	04	20	08					(8180)	
		S	29	37						73.6°	Océan Pacifique
		eL	58								
		M	05	01.6		20.0	0.8				
753		eL	11	26							
		M	45.9			17.0	1				
754	11	eL	13	06.4							
755		eP	21	50	30					2020	
		S	53	55						18.2°	
		eL	57.5								
756	13	(e)	23	06	30						
		e(L)			39						
757	14	eL	07	01.8							Traces
758		e	10	37	11						Tr. d. t. proche.
											Très faible
759		eL	12	42							Traces
760		eL	18	39							"
761	16	e	09	50	16						Tr. d. t. proche.
											Très faible
762	19	e	04	35	00*					(278)	
		e			28*					(2.5°)	
		IL			35*						
763		eL	07	24*							



Nº	Date	Phase	Heure			Période	Amplitude μ			Δ km	Remarques
			h	m	s		A_n	A_s	A_r		
764		e	09	33.5	*						
765		P	15	22	52*					(2510)	
		S	26		58*					(22.6°)	
		eL	28		*						
		M	31.0			10.5				0.7	
766	20	iL	03	36	22						Tr. d. t. proche.
767	23	eP	(15)	22	37						Faible
		e	27		10						
		e	29		58						
		eL	31.8								
768		e	16	22	22						
		e	23		11						
		e	25		20						
		eL	26.4								
769	24	eL	07	16							
		M	29.6			28.0				20	Début pendant le changement du papier
770		e(P)	23	34	51					(5710)	
		e(S)	52		12					(51.4°)	
25		eL	00	16	08						
771		iP	02	11	55					4135	
		S	17		50					37.2°	Destructeur Kan-
		i	18		11						sou (Chine)
772	26	P	19	06	27					(1745)	
		e(S)	09		27					15.7°	Méditerranée
		L	10		52						
773		eL	20	04.4							Traces
774		P	21	25	11					6960	
		eS	33		38					62.6°	Ressenti Riou-
		e(SKs)	34		49						Kiou
		e	43		14						
		eL	51								

Tbilisi

Décembre 1932



N°	Date	Phase	Heure			Période	Amplitude μ			Δ km	Remarques
			h	m	s		A_a	A_e	A_s		
775		P e(S) eL	22	42	53					(8450)	
				52	36					(76.0°)	
776	28	eL	08	59.8							
777		P eS eP M	20	33	01					8430	
				42	43					75.9°	
				59							
778	30	eL	20	53.5			24.5		3		
779		eP e(eS) e eL	21	25	18					(2905)	
				29	54					26.1°	
				30	58						
				32.7							
780	31	S e eL M	06	51	31					Ca.	Ressenti Natae,
			07	00	08					8000	Orange (Afrique)
				02						72°	
781		e	09	33	43						Tr. d. t. proche. Très faible

Chef de la Section de Service Séismologique
E. Buss